

О МЕХАНИЗМАХ РЕКОМБИНАЦИИ НОСИТЕЛЕЙ ТОКА В $p\text{-InAs}_{1-x-y}\text{Sb}_x\text{P}_y$

Андрушкин А. И., Салихов Х. М., Слободчиков С. В., Стусь Н. М.,
Талалакин Г. Н.

Проведены экспериментальные исследования кинетики релаксации фотопроводимости, стационарной фотопроводимости и фотомагнитного эффекта эпитаксиальных слоев $p\text{-InAs}_{1-x-y}\text{Sb}_x\text{P}_y$ ($x=0.05$, $y=0.11$) в интервале температур $77 \div 295$ К и определены времена жизни носителей тока. Рассчитаны времена жизни межзонной излучательной и оже-рекомбинаций с учетом градиента ширины запрещенной зоны, а также вклад времен захвата и рекомбинации на глубоких центрах ($E_f=0.13$ эВ). Показано, что только совместный учет этих механизмов рекомбинаций удовлетворительно объясняет температурный ход времен жизни носителей тока в изученных кристаллах.

Получение и исследование электрических и фотоэлектрических свойств кристаллов и диодных структур четверных полупроводниковых соединений $\text{InAs}_{1-x-y}\text{Sb}_x\text{P}_y$ представляет большой интерес в связи с хорошими перспективами для создания когерентных и некогерентных источников излучения и приемников для средней ИК области спектра [1]. Некоторые результаты исследований указанных свойств диодов на основе этих полупроводниковых материалов были опубликованы ранее в [2]. В настоящей работе изложены результаты измерений фотоэлектрических свойств монокристаллических слоев $p\text{-InAs}_{1-x-y}\text{Sb}_x\text{P}_y$ ($x=0.05$, $y=0.11$), определен температурный ход времен релаксации фотопроводимости и проанализированы возможные механизмы рекомбинации носителей тока в интервале $T=77 \div 295$ К.

В качестве объектов измерений использовались монокристаллические слои p -типа $\text{InAs}_{1-x-y}\text{Sb}_x\text{P}_y$, полученные легированием Mn в процессе эпитаксиального выращивания на подложках $p\text{-InAs}$ с ориентацией (111) А. Слои в направлении роста имели изменяющуюся ширину запрещенной зоны (варизонная структура) с градиентом ~ 1.8 мэВ/мкм и получались сошлифованием, травлением и полировкой до полного удаления подложки, имели размеры $0.5 \times 0.1 \times 0.003$ см, ориентацию (111) А, концентрацию дырок $p_0=2.5 \cdot 10^{16} \div 3 \cdot 10^{17}$ см $^{-3}$.

Измерялись кинетика релаксации фотопроводимости с использованием GaAs-лазера как источника импульсного излучения (с временами нарастания и спада светового импульса ~ 15 нс), а также стационарная фотопроводимость и фотомагнитный эффект с использованием гелий-неонового лазера ЛГ-126 с $\lambda=1.15$ мкм, $I=2.5 \cdot 10^{16}$ кВ/см 2 .с.

На рис. 1 приведены результаты измерений стационарной фотопроводимости $v_{\text{ФП}}$ и фотомагнитного эффекта $v_{\text{ФМЭ}}$ ($H=5$ кЭ) в интервале температур $77 \div 295$ К, типичные для всех исследуемых образцов. Там же представлена температурная зависимость электропроводности $\sigma(T)$. В области повышенных температур наблюдается активационный механизм изменения $v_{\text{ФП}}$ и $v_{\text{ФМЭ}}$, причем энергия активации ~ 0.13 эВ. Температурный ход $v_{\text{ФП}}$ и $v_{\text{ФМЭ}}$ свидетельствует о неравенстве времен жизни основных и неосновных носителей заряда: время жизни электронов падает, а время жизни дырок растет, что указывает на захват электронов на локальные уровни в запрещенной зоне полупроводника.

Исследование нестационарной фотопроводимости показывает, что форма кривых и постоянная времени релаксации фотопроводимости τ зависят от рав-

новесной концентрации дырок и температуры (они представлены на рис. 2, а, б). В области высоких температур спад фотопроводимости характеризуется одной постоянной времени. При низких температурах начальный участок релаксации имеет малое τ , медленно меняющееся с температурой, в то время как заключительный этап релаксации характеризуется существенно большей постоянной времени, быстро растущей с понижением температуры в интервале 295–180 К. Изменение τ , соответствующее хвосту релаксации для различной концентрации p_0 , представлено экспериментальными точками на рис. 2. Из полученных данных можно сделать предположение, что в зависимости от равновесной концентрации дырок p_0 и температуры надо учитывать меняющийся вклад в рекомбинационные процессы таких механизмов, как межзонные излучательную и оже-рекомбинации, а также рекомбинации с участием ловушек. Рассмотрим последовательно эти механизмы рекомбинации.

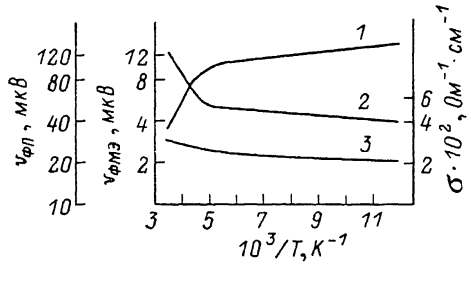


Рис. 1. Температурные зависимости $\nu_{\Phi\Pi}$ (1), $\nu_{\Phi\text{МЭ}}$ (2) и σ (3) для p -InAs_{1-x-y}Sb_xP_y ($p_0 = 7 \cdot 10^{18} \text{ см}^{-3}$).

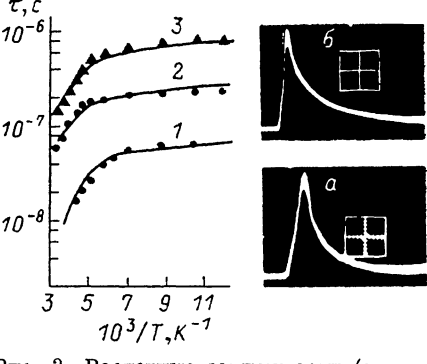


Рис. 2. Расчетные зависимости (сплошные линии) и экспериментальные результаты времен релаксации от температуры с учетом всех рассмотренных механизмов рекомбинации и прилипания.

$p_0, \text{ см}^{-3}$: 1 — $3 \cdot 10^{17}$, 2 — $7 \cdot 10^{18}$, 3 — $2.5 \cdot 10^{18}$.
а относится к кривой 2 ($T=80 \text{ К}$, 0.1 мкс/дел.),
б — к кривой 3 ($T=80 \text{ К}$, 0.5 мкс/дел.).

Скорость излучательной рекомбинации была рассчитана методом численного интегрирования с помощью ЭВМ как функция градиента ширины запрещенной зоны dE_g/dx по формуле

$$G_r(x) = \frac{8\pi (kT)^3 n^2}{c^2 h^3} \int_{u'_0}^{\infty} \frac{\alpha u^2}{e^u - 1} du. \quad (1)$$

Здесь $n=3.54$ — показатель преломления,

$$u'_0 = \frac{E'_g}{kT}, \quad E'_g = E_g + \frac{dE_g}{dx} x,$$

$E_g = (0.403 - 2.8 \cdot 10^{-4} T)$ эВ — ширина запрещенной зоны полупроводника, определенная из данных фотолюминесценции, $dE_g/dx = 1.8 \cdot 10^{-3}$ эВ/мкм — градиент ширины запрещенной зоны [3], $\alpha = b k T (u - u'_0)^{1/2}$ — коэффициент поглощения для $u > u'_0$, $b = 2.5 \cdot 10^4 \text{ эВ}^{-1} \cdot \text{см}^{-1}$.

Из данных $G_r(x)$ произведен расчет среднего коэффициента излучательной рекомбинации

$$\langle R_r \rangle = \frac{1}{t} \int_0^t \frac{G_r(x)}{n_r(x)} dx, \quad (2)$$

где t — толщина образца. При малых уровнях возбуждения время жизни излучательной рекомбинации

$$\tau_r = [\langle R_r \rangle (n_0 + p_0)]^{-1}. \quad (3)$$

На рис. 3 приведены соответствующие расчетные кривые для концентраций p_0 , равных $2.5 \cdot 10^{16}$ и $3 \cdot 10^{17}$ см $^{-3}$.

Время жизни для оже-рекомбинации при малых уровнях возбуждения

$$\tau_A = [(\langle R_{ee} \rangle n_0 + \langle R_{hh} \rangle p_0) / (n_0 + p_0)]^{-1}. \quad (4)$$

Расчет R_{ee} и R_{hh} производился по соотношениям, полученным в работах [4, 5], причем в области исследуемых температур для p -образцов преобладает коэффициент

$$R_{hh} = \frac{q^4 \hbar^3 (m_{s_0}/m_0)}{m_0^2 \gamma (m_h/m_0)^3 (E_g)^3} f(z). \quad (5)$$

Это выражение справедливо при $(E_g' - \Delta)/E_g \ll 1$, $f(z)$ — функция безразмерного параметра, $z = (E_g' - kT)/kT$. Параметры зонной структуры брались близкими к InAs [6], в частности $\Delta \approx 0.40$ эВ. Как и для случая τ_L , расчет τ_A велся с учетом градиента ширины запрещенной зоны и усреднения по толщине образца.

На рис. 3 приведены соответствующие зависимости для τ_A , а также общее время межзонной рекомбинации $\tau_{R,A} = \tau_R \tau_A / (\tau_R + \tau_A)$. Из рисунков следует, что оба механизма межзонной рекомбинации не могут объяснить характера и температурного хода времени релаксации изученных кристаллов $p\text{-InAs}_{1-x-y}\text{Sb}_x\text{P}_y$.

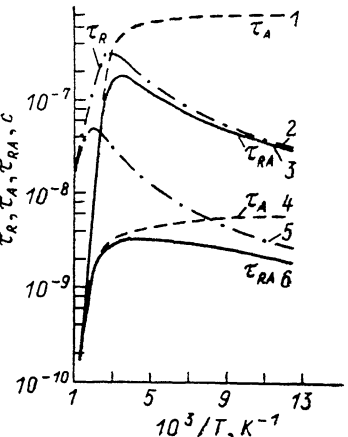


Рис. 3. Расчетные зависимости времени жизни излучательной (τ_R), оже-рекомбинации (τ_A) и межзонной [$\tau_{RA} = \tau_R \tau_A / (\tau_R + \tau_A)$] рекомбинации от температуры.

p_0 , cm^{-3} : 1-3 = $2.5 \cdot 10^{16}$, 4-6 = $3 \cdot 10^{17}$.

Для удовлетворительного объяснения экспериментальных данных нами была учтена роль примесных состояний (возможно, дефектов) с энергией активации $E_f = 0.13$ эВ, о которой упоминалось ранее. Мы полагаем, что в кристаллах $p\text{-InAs}_{1-x-y}\text{Sb}_x\text{P}_y$ имеется глубокий уровень донорного типа, лежащий ниже края зоны проводимости и имеющий указанную выше энергию активации. Эти глубокие центры могут служить эффективными центрами захвата для электронов, и вклад их в общий механизм рекомбинации будет изменяться в зависимости от концентрации равновесных носителей и температуры.

Система дифференциальных уравнений, описывающих кинетику переходов избыточных носителей тока δn и δp в схеме, содержащей один тип уровней захвата и рекомбинации, с учетом межзонных переходов может быть представлена в виде

$$-\frac{d}{dt}(\delta n)/dt = c_n [(n + n_1)(\delta n - \delta p) + \delta n N_f (1 - f)] + (np - n_i^2) (R_r + R_{ee}n + R_{hh}p),$$

$$-\frac{d}{dt}(\delta p)/dt = c_p [(p + p_1)(\delta p - \delta n) + \delta p N_f f] + (np - n_i^2) (R_r + R_{ee}n + R_{hh}p), \quad (6)$$

где c_n , c_p — коэффициенты захвата электронов и дырок,

$$n_1 = N_a \exp(-E_f/kT), \quad p_1 = N_p \exp[-(E_g - E_f)/kT], \quad f = p_1/(p_0 + p_1) = n_0/(n_0 + n_1)$$

— вероятность заполнения уровней E_f в состоянии термодинамического равновесия.

При слабом уровне возбуждения систему уравнений (6) можно представить в виде

$$\begin{aligned} -d(\delta n)/dt &= a_{11}\delta n + a_{12}\delta p, \\ -d(\delta p)/dt &= a_{21}\delta n + a_{22}\delta p, \end{aligned} \quad (7)$$

где

$$\begin{aligned}a_{11} &= c_n [n_0 + n_1 + N_f(1 - f)] + R_r p_0 + R_{ee} n_i^2 + R_{hh} p_0^2, \\a_{12} &= -c_n (n_0 + n_1) + R_r n_0 + R_{ee} n_0^2 + R_{hh} n_i^2, \\a_{21} &= -c_p (p_0 + p_1) + R_r p_0 + R_{ee} n_i^2 + R_{hh} p_0^2, \\a_{22} &= c_p (p_0 + p_1 + N_f f) + R_r n_0 + R_{ee} n_0^2 + R_{hh} n_i^2.\end{aligned}$$

Решение системы уравнений (7) имеет два корня λ_{\pm} , которым соответствуют постоянные времени

$$\tau_{\pm} = \lambda_{\pm}^{-1} = \frac{a_{11} + a_{22} \pm \sqrt{(a_{11} - a_{22})^2 + 4a_{12}a_{21}}}{2(a_{11}a_{22} - a_{12}a_{21})}. \quad (8)$$

Оба корня определяют времена релаксации, которые обусловлены процессами рекомбинации, а также захвата и теплового выброса электронов с участием уровней E_f , причем большее из них должно соответствовать экспериментально измеряемой постоянной времени затухания фотопроводимости [7].

На рис. 2 приведены рассчитанные по (8) температурные зависимости τ (T) для $N_f = 4 \cdot 10^{14} \text{ см}^{-3}$, $E_f = 0.13 \text{ эВ}$, $c_n = \sigma_n v_n$, $c_p = \sigma_p v_p$ (где $\sigma_n = 10^{-14} \text{ см}^2$, $\sigma_p = 5 \cdot 10^{-18} \text{ см}^2$ — сечения захвата, а v_n и v_p — тепловые скорости электронов и дырок соответственно) и экспериментальные значения постоянной затухания, соответствующие заключительной стадии релаксации. Как видно из рисунков, совместный учет межзонной излучательной и оже-рекомбинаций с вкладом прилипания и рекомбинации на глубоких центрах дает удовлетворительное соответствие теоретических предпосылок и экспериментальных данных во всем изученном температурном интервале. Наличие быстрой компоненты в релаксации фотопроводимости (рис. 2, а, б) свидетельствует о нарушении условия слабого сигнала в начальной стадии аннигиляции избыточных носителей тока. При комнатной температуре для всех образцов, как слабо, так и сильно легированных, преобладающими являются процессы межзонной рекомбинации.

В заключение авторы выражают благодарность Н. В. Зотовой за данные измерений фотолюминесценции и Э. И. Сагиеву за помощь в математической обработке результатов.

Л и т е р а т у р а

- [1] Есина Н. П., Зотова Н. В., Матвеев Б. А., Стусь Н. М., Талалакин Г. Н., Абышев Т. Д. — Письма ЖТФ, 1983, т. 9, в. 7, с. 391—395.
- [2] Андрушко А. И., Салихов Х. М., Слободчиков С. В., Стусь Н. М., Талалакин Г. Н. — ФТП, 1986, т. 20, в. 12, с. 2395—2398.
- [3] Есина Н. П., Зотова Н. В., Матвеев Б. А., Неуймина Л. Д., Стусь Н. М., Талалакин Г. Н. — ФТП, 1981, т. 14, в. 12, с. 2362—2365.
- [4] Гельмонт Б. Л., Соколова З. Н., Яссиевич И. Н. — ФТП, 1982, т. 16, в. 4, с. 592—600.
- [5] Андрушко А. И., Салихов Х. М., Слободчиков С. В. — ФТП, 1986, т. 20, в. 3, с. 403—406.
- [6] Berolo O., Wooley J. C., Van Vechten J. A. — Phys. Rev. B, 1973, v. 8, N 8, p. 3794—3797.
- [7] Блекмор Дж. Статистика электронов в полупроводниках. М., 1964. 392 с.

Получена 10.03.1987
Принята к печати 21.08.1987